

КРАЕВЫЕ ЗАДАЧИ ТЕОРИИ УПРУГОСТИ ДЛЯ ОРТОТРОПНОЙ ПЛАСТИНЫ, ОСЛАБЛЕННОЙ ДВУМЯ СООСНЫМИ ЭЛЛИПТИЧЕСКИМИ ОТВЕРСТИЯМИ

Имеется лишь небольшое число публикаций, ориентированных на построение новых и развитие имеющихся аналитических методов исследования задач теории упругости для многосвязных ортотропных тел. Это обстоятельство связано с существенными математическими трудностями построения эффективных общих решений уравнений равновесия и точной реализацией граничных условий.

Актуальность соответствующих исследований для инженерных применений определяется тем, что в вопросах прочности материалов и элементов конструкций используют в основном информацию о напряженно-деформированном состоянии вблизи полостей, трещин, включений, краев и т.д. Получение достоверной и полной информации о распределении напряжений в указанных локальных зонах непосредственно связано с использованием аналитических методов решения краевых задач теории упругости. В обзорных статьях [1, 2] с достаточной полнотой представлена история проблемы исследования закономерностей напряженного состояния в анизотропных телах.

Предлагаемый в данной работе аналитический подход основан на представлении общих решений уравнений равновесия через две гармонические функции [3, 4] и использовании соотношений между базисными гармоническими функциями в разных эллиптических системах координат. Реализация граничных условий основных краевых задач приводит к бесконечным системам линейных алгебраических уравнений с экспоненциально убывающими матричными коэффициентами, что позволяет провести эффективный анализ напряженного состояния вблизи концентраторов напряжений, в частности, получить простые асимптотические формулы для коэффициентов интенсивности нормальных напряжений.

Пусть δ_1, δ_2 ($\delta_j > 0$) – безразмерные величины, определяемые формулами

$$\delta_1^2 + \delta_2^2 = \omega = \frac{E_1}{G_{12}} - 2\nu_{12}; \quad \delta_1^2 \delta_2^2 = \gamma = \frac{E_1}{E_2} \quad (\omega > 0, \omega^2 - 4\gamma \geq 0),$$

где $E_1 = E_x$, $E_2 = E_y$ – модули упругости материала на растяжение (сжатие) в направлении осей x и y ; $G_{12} = G_{xy}$ – модуль сдвига в плоскости Oxy ; $\nu_{12} = \nu_{xy}$ – коэффициент Пуассона. В силу симметрии этих формул относительно δ_1, δ_2 имеем

$$\left\{ \begin{array}{l} \delta_1 \\ \delta_2 \end{array} \right\} = \sqrt{\frac{\omega \pm \sqrt{\omega^2 - 4\gamma}}{2}} \quad \text{либо} \quad \left\{ \begin{array}{l} \delta_1 \\ \delta_2 \end{array} \right\} = \sqrt{\frac{\omega \mp \sqrt{\omega^2 - 4\gamma}}{2}}.$$

Частные решения двумерных однородных уравнений равновесия ортотропных в осях x и y пластин представим в виде [3, 4]

$$\tau_{xy}^{(j)} = -\frac{a}{\delta_j} \frac{\partial I_j}{\partial y} = -a \frac{\partial I_j}{\partial y_j}, \quad \sigma_x^{(j)} = -a \delta_j \frac{\partial I_j}{\partial x}, \quad \sigma_y^{(j)} = \frac{a}{\delta_j} \frac{\partial I_j}{\partial x} = -\delta_j^{-2} \sigma_x^{(j)}; \quad (1)$$

$$u_x^{(j)} = -\frac{a(\delta_j^2 + \nu_{12})}{\delta_j E_1} I_j, \quad u_y^{(j)} = \frac{a(\delta_{3-j}^2 + \nu_{12})}{E_1} \int \frac{\partial I_j}{\partial x} dy_j \quad (j=1, 2), \quad (2)$$

где $I_j = I_j(x, y_j)$ – гармонические функции переменных $x, y_j = \delta_j y$; a – параметр, определяемый выбором исходной криволинейной системы координат. Заметим, что в формулах (2) I_j и $\int \frac{\partial I_j}{\partial x} dy_j$ – сопряженные гармонические функции переменных x, y_j .

Положим

$$\tau_{xy} = \tau_{xy}^{(1)} + \tau_{xy}^{(2)}, \quad \sigma_x = \sigma_x^{(1)} + \sigma_x^{(2)}, \quad \sigma_y = \sigma_y^{(1)} + \sigma_y^{(2)}; \quad u_x = u_x^{(1)} + u_x^{(2)}, \quad u_y = u_y^{(1)} + u_y^{(2)}. \quad (3)$$

При $\delta_1 \neq \delta_2$ ($\omega^2 \neq 4\gamma$) представления (3) компонент тензора напряжений и вектора перемещений являются общими (функции I_j линейно независимы). В случае $\delta_1 = \delta_2 = \delta$ ($\omega^2 = 4\gamma$) функции I_1, I_2 образуют линейно зависимую систему и тогда надо либо построить решение уравнений равновесия, не выражающееся линейно через уже имеющееся решение (построенное с помощью гармонической функции I_1), либо в исходной краевой задаче ($\delta_1 \neq \delta_2$) совершить предельный переход $\delta_2 \rightarrow \delta_1 = \delta$.

Общие решения (3) в сочетании с методом Фурье позволяют получить простые выражения для проекций вектора перемещений и вектора сил на границах ортотропных эллиптических пластин и тем самым точно удовлетворить граничным условиям основных краевых задач.

Пусть $\langle x, y \rangle, \langle \xi, \theta \rangle$ – исходные декартова и эллиптическая системы координат, связанные соотношениями

$$x = a \operatorname{sh} \xi \sin \theta, \quad y = a \operatorname{ch} \xi \cos \theta \quad (a > 0, 0 \leq \xi < \infty, 0 \leq \theta \leq 2\pi). \quad (4)$$

Уравнение $\xi = \xi_0 = \operatorname{const}$ задает вытянутый вдоль оси Oy эллипс

$$\frac{x^2}{(a \operatorname{sh} \xi_0)^2} + \frac{y^2}{(a \operatorname{ch} \xi_0)^2} = 1 \quad (5)$$

При $\delta_1 \neq \delta_2$ каждую из гармонических функций I_j ($j=1, 2$) будем рассматривать как функцию эллиптических координат ξ_i, θ_i , определяемых формулами

$$x_j = x = a_j \operatorname{sh} \xi_j \sin \theta_j, \quad y_j = \delta_j y = a_j \operatorname{ch} \xi_j \cos \theta_j \quad (a_j > 0, 0 \leq \xi_j < \infty, 0 \leq \theta_j \leq 2\pi). \quad (6)$$

Уравнение $\xi_j = \xi_{j0} = \text{const}$ задает эллипс

$$\frac{x_j^2}{(a_j \operatorname{sh} \xi_{j0})^2} + \frac{y_j^2}{(a_j \operatorname{ch} \xi_{j0})^2} = \frac{x^2}{(a_j \operatorname{sh} \xi_{j0})^2} + \frac{(\delta_j y)^2}{(a_j \operatorname{ch} \xi_{j0})^2} = 1 \quad (j=1, 2), \quad (7)$$

совпадающий с исходным эллипсом (5) при условии, что

$$a_j \operatorname{sh} \xi_{j0} = a \operatorname{sh} \xi_0, \quad a_j \operatorname{ch} \xi_{j0} = \delta_j a \operatorname{ch} \xi_0 \quad (j=1, 2). \quad (8)$$

Тогда из соотношений (4), (6), (8) следует, что на границах $\xi = \xi_0$, $\xi_j = \xi_{j0}$ эллиптических областей $0 \leq \xi < \xi_0$, $0 \leq \xi_j < \xi_{j0}$; $\xi_0 < \xi < \infty$, $\xi_{j0} < \xi < \infty$ выполняются равенства

$$\theta_1 = \theta_2 = \theta. \quad (9)$$

Коэффициенты Ляме эллиптических систем координат $\langle \xi, \theta \rangle$, $\langle \xi_j, \theta_j \rangle$ имеют вид

$$H_\xi = H_\theta = ah, \quad h = \sqrt{\operatorname{ch}^2 \xi - \cos^2 \theta}; \quad H_{\xi_j} = H_{\theta_j} = a_j h_j, \quad h_j = \sqrt{\operatorname{ch}^2 \xi_j - \cos^2 \theta_j},$$

а направляющие косинусы единичных внешних нормалей $\vec{n} = n_x \vec{e}_x + n_y \vec{e}_y$, $\vec{n}_j = n_x^{(j)} \vec{e}_x + n_y^{(j)} \vec{e}_y$ к границам (5), (7) эллиптических областей $\xi_0 < \xi \leq \infty$, $\xi_{j0} < \xi \leq \infty$ определяются формулами

$$n_x = -\frac{\operatorname{ch} \xi_0 \sin \theta}{h_0}, \quad n_y = -\frac{\operatorname{sh} \xi_0 \cos \theta}{h_0}; \quad n_x^{(j)} = -\frac{\operatorname{ch} \xi_{j0} \sin \theta_j}{\delta_j h_{j0}}, \quad n_y^{(j)} = -\frac{\operatorname{sh} \xi_{j0} \cos \theta_j}{h_{j0}}; \quad (10)$$

$$h_0 = \sqrt{\operatorname{ch}^2 \xi_0 - \cos^2 \theta}, \quad h_{j0} = \sqrt{(\delta_j^{-1} \operatorname{ch} \xi_{j0})^2 \sin^2 \theta_j + \operatorname{sh}^2 \xi_{j0} \cos^2 \theta_j}.$$

Из равенств (8), (9) следует, что на граничных линиях $\xi = \xi_0$, $\xi_j = \xi_{j0}$ выполняются соотношения

$$a_1 h_{10} = a_2 h_{20} = ah_0, \quad n_x^{(j)} = n_x, \quad n_y^{(j)} = n_y \quad (j=1, 2). \quad (11)$$

Если на контуре (границе) пластины задан вектор сил $\vec{F} = F_x \vec{e}_x + F_y \vec{e}_y$, то его проекции на оси декартовой системы координат выражаются формулами $F_x = \sigma_x n_x + \tau_{xy} n_y$, $F_y = \tau_{xy} n_x + \sigma_y n_y$. Найдем проекции $F_x^{(j)} = \sigma_x^{(j)} n_x^{(j)} + \tau_{xy}^{(j)} n_y^{(j)}$, $F_y^{(j)} = \tau_{xy}^{(j)} n_x^{(j)} + \sigma_y^{(j)} n_y^{(j)}$ векторов сил

$\vec{F}_j = F_x^{(j)} \vec{e}_x + F_y^{(j)} \vec{e}_y$ на границах $\xi_j = \xi_{j0}$, соответствующие частным решениям (1). Используя равенства

$$\begin{aligned} \tau_{xy}^{(j)} &= -\frac{a}{a_j h_j^2} \left(\operatorname{sh} \xi_j \cos \theta_j \frac{\partial l_j}{\partial \xi_j} - \operatorname{ch} \xi_j \sin \theta_j \frac{\partial l_j}{\partial \theta_j} \right), \\ \sigma_x^{(j)} &= -\frac{a \delta_j}{a_j h_j^2} \left(\operatorname{ch} \xi_j \sin \theta_j \frac{\partial l_j}{\partial \xi_j} + \operatorname{sh} \xi_j \cos \theta_j \frac{\partial l_j}{\partial \theta_j} \right), \\ \sigma_y^{(j)} &= -\delta_j^{-2} \sigma_x^{(j)}; \operatorname{ch}^2 \xi_j \sin^2 \theta_j + \operatorname{sh}^2 \xi_j \cos^2 \theta_j = h_j^2, \end{aligned}$$

на основании (8) - (11) получаем простые формулы

$$F_x^{(j)} \Big|_{\xi_j = \xi_{j0}} = \frac{1}{h_0} \frac{\partial l_j}{\partial \xi_j} \Big|_{\xi_j = \xi_{j0}}, \quad F_y^{(j)} \Big|_{\xi_j = \xi_{j0}} = -\frac{1}{\delta_j h_0} \frac{\partial l_j}{\partial \theta_j} \Big|_{\xi_j = \xi_{j0}}; \quad (12)$$

$$F_x \Big|_{\xi = \xi_0} = F_x^{(1)} \Big|_{\xi_1 = \xi_{10}} + F_x^{(2)} \Big|_{\xi_2 = \xi_{20}}, \quad F_y \Big|_{\xi = \xi_0} = F_y^{(1)} \Big|_{\xi_1 = \xi_{10}} + F_y^{(2)} \Big|_{\xi_2 = \xi_{20}}. \quad (13)$$

В предельном случае, когда $\xi_0 = 0$ ($\xi_{j0} = 0$), эллипсы $\xi = \xi_0$, $\xi_j = \xi_{j0}$ вырождаются в один и тот же разрез $x = \pm 0$, $|y| \leq a$, причем

$$a_j = \delta_j a, \quad h_0 = |\sin \theta|.$$

Введем теперь координатные системы $\langle \bar{x}, \bar{y} \rangle$, $\langle \bar{\xi}, \bar{\theta} \rangle$, $\langle \bar{x}_j, \bar{y}_j \rangle$, $\langle \bar{\xi}_j, \bar{\theta}_j \rangle$, связанные с координатными системами $\langle x, y \rangle$, $\langle \xi, \theta \rangle$, $\langle x_j, y_j \rangle$, $\langle \xi_j, \theta_j \rangle$ соотношениями (рисунок)

$$\bar{x} = x = x_j = \bar{x}_j, \quad \bar{y} = -y - 2h; \quad a + \bar{a} < 2h;$$

$$\bar{x} = \bar{a} \operatorname{sh} \bar{\xi} \sin \bar{\theta}, \quad \bar{y} = \bar{a} \operatorname{ch} \bar{\xi} \cos \bar{\theta} \quad (\bar{a} > 0, 0 \leq \bar{\xi} < \infty, 0 \leq \bar{\theta} \leq 2\pi);$$

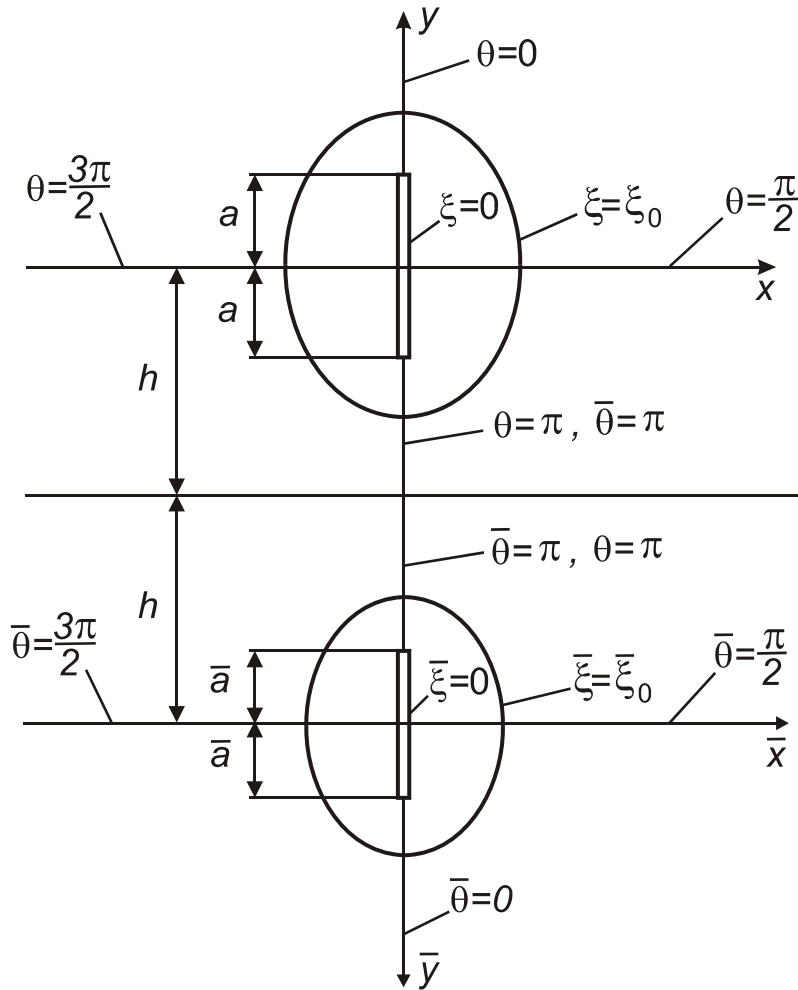
$$\bar{x}_j = \bar{a}_j \operatorname{sh} \bar{\xi}_j \sin \bar{\theta}_j, \quad \bar{y}_j = \delta_j \bar{y} = \bar{a}_j \operatorname{ch} \bar{\xi}_j \cos \bar{\theta}_j \quad (\bar{a}_j > 0; 0 \leq \bar{\xi}_j < \infty, 0 \leq \bar{\theta}_j \leq 2\pi).$$

Пусть $\bar{\xi} = \bar{\xi}_0 = \operatorname{const}$, $\bar{\xi}_j = \bar{\xi}_{j0} = \operatorname{const}$ ($j=1, 2$) – эллипсы, вытянутые вдоль оси $\bar{O}\bar{y}$ (Oy). В соответствии с приведенными выше построениями на эллипсах $\bar{\xi} = \bar{\xi}_0$, $\bar{\xi}_j = \bar{\xi}_{j0}$ имеем

$$\bar{a}_j \operatorname{sh} \bar{\xi}_{j0} = \bar{a} \operatorname{sh} \bar{\xi}_0, \quad \bar{a}_j \operatorname{ch} \bar{\xi}_{j0} = \delta_j \bar{a} \operatorname{ch} \bar{\xi}_0, \quad \bar{\theta}_1 = \bar{\theta}_2 = \bar{\theta}, \quad \bar{h}_0 = \sqrt{\operatorname{ch}^2 \bar{\xi}_0 - \cos^2 \bar{\theta}};$$

$$F_x^{(j)} \Big|_{\bar{\xi}_j = \bar{\xi}_{j0}} = \frac{a}{\bar{a} h_0} \frac{\partial l_j}{\partial \bar{\xi}_j} \Big|_{\bar{\xi}_j = \bar{\xi}_{j0}}, \quad F_y^{(j)} \Big|_{\bar{\xi}_j = \bar{\xi}_{j0}} = -\frac{a}{\delta_j \bar{a} h_0} \frac{\partial l_j}{\partial \bar{\theta}_j} \Big|_{\bar{\xi}_j = \bar{\xi}_{j0}}; \quad (14)$$

$$F_x|_{\bar{\xi}=\bar{\xi}_0} = F_x^{(1)}|_{\bar{\xi}_1=\bar{\xi}_{10}} + F_x^{(2)}|_{\bar{\xi}_2=\bar{\xi}_{20}}, \quad F_y|_{\bar{\xi}=\bar{\xi}_0} = F_y^{(1)}|_{\bar{\xi}_1=\bar{\xi}_{10}} + F_y^{(2)}|_{\bar{\xi}_2=\bar{\xi}_{20}}. \quad (15)$$



Геометрия пластины

В предельном случае $\bar{\xi}_0 = 0$ ($\bar{\xi}_{j0} = 0$) эллипсы $\bar{\xi} = \bar{\xi}_0$, $\bar{\xi}_j = \bar{\xi}_{j0}$ вырождаются в один и тот же разрез $\bar{x} = \pm 0$, $|\bar{y}| \leq \bar{a}$, причем

$$\bar{a}_j = \delta_j \bar{a}, \quad \bar{h}_0 = |\sin \bar{\theta}|.$$

Базисные гармонические функции в координатных системах $\langle \xi_j, \theta_j \rangle$, $\langle \bar{\xi}_j, \bar{\theta}_j \rangle$ связаны между собой соотношениями

$$\begin{cases} e^{-k\bar{\xi}_j} \cos k\bar{\theta}_j = \frac{1}{2} \bar{b}_{0k}^{(j)} + \sum_{n=1}^{\infty} \bar{b}_{nk}^{(j)} \operatorname{chn} \xi_j \cos n\theta_j, \\ e^{-k\bar{\xi}_j} \sin k\bar{\theta}_j = \sum_{n=1}^{\infty} \bar{b}_{nk}^{(j)} \operatorname{shn} \xi_j \sin n\theta_j \quad (a_j \operatorname{ch} \xi_j < 2\delta_j h - a_j); \end{cases} \quad (16)$$

$$\begin{cases} e^{-n\xi_j} \cos n\theta_j = \frac{1}{2} \bar{c}_{n0}^{(j)} + \sum_{k=1}^{\infty} \bar{c}_{nk}^{(j)} \operatorname{ch} k \bar{\xi}_j \operatorname{cos} k \bar{\theta}_j, \\ e^{-n\xi_j} \sin n\theta_j = \sum_{k=1}^{\infty} \bar{c}_{nk}^{(j)} \operatorname{sh} k \bar{\xi}_j \operatorname{sin} k \bar{\theta}_j \quad (\bar{a}_j \operatorname{ch} \bar{\xi}_j < 2\delta_j h - \bar{a}_j), \end{cases} \quad (17)$$

где $\bar{b}_{nk}^{(j)} = 2k(-1)^{n+k} \int_0^{\infty} \lambda^{-1} e^{-2\delta_j h \lambda} I_n(a_j \lambda) I_k(\bar{a}_j \lambda) d\lambda$, $\bar{c}_{nk}^{(j)} = \frac{n}{k} \bar{b}_{nk}^{(j)}$;

$a_j + \bar{a}_j < 2\delta_j h$ ($a + \bar{a} < 2h$); $I_\nu(z)$ – модифицированная функция Бесселя.

Методика получения такого рода соотношений между базисными гармоническими функциями, рассматриваемыми в разных координатных системах, изложена в работе [5].

Разложения (16), (17) в сочетании с методом Фурье позволяют точно удовлетворить граничным условиям основных краевых задач для неограниченной ортотропной пластины, ослабленной эллиптическим отверстиями $0 \leq \xi < \xi_0$, $0 \leq \bar{\xi} < \bar{\xi}_0$, в частности, разрезами (трещинами) $\xi = 0$, $\bar{\xi} = 0$.

В качестве приложения приведенных общих результатов рассмотрим первую основную краевую задачу для бесконечной ортотропной пластины, ослабленной двумя разрезами $\xi = 0$ ($x = \pm 0$, $|y| < a$) и $\bar{\xi} = 0$ ($\bar{x} = \pm 0$, $|\bar{y}| < \bar{a}$). Пусть берега этих разрезов растягиваются равномерно распределенными нормальными усилиями интенсивности $\sigma_0 = \text{const}$ ($\sigma_0 > 0$). В силу симметрии задачи по координате x (\bar{x}) достаточно удовлетворить граничным условиям

$$F_x|_{\xi=0} = \sigma_0, \quad F_y|_{\xi=0} = 0 \quad (0 < \theta < \pi); \quad F_x|_{\bar{\xi}=0} = \sigma_0, \quad F_y|_{\bar{\xi}=0} = 0 \quad (0 < \bar{\theta} < \pi),$$

а гармонические функции I_j ($j=1, 2$) представить в виде суммы рядов по базисным гармоническим функциям $e^{-n\xi_j} \sin n\theta_j$, $e^{-k\bar{\xi}_j} \sin k\bar{\theta}_j$:

$$I_j = \sum_{n=1}^{\infty} A_n^{(j)} e^{-n\xi_j} \sin n\theta_j + \sum_{k=1}^{\infty} B_k^{(j)} e^{-k\bar{\xi}_j} \sin k\bar{\theta}_j. \quad (18)$$

Используя теперь равенства (12) – (15) при $\xi_0 = 0$, $\xi_{j0} = 0$, $\bar{\xi}_0 = 0$, $\bar{\xi}_{j0} = 0$, разложения (16) – (18) и учитывая, что $a_j = \delta_j a$, $\bar{a}_j = \delta_j \bar{a}$, $h_0 = \sin \theta$, $\bar{h}_0 = \sin \bar{\theta}$ ($0 < \theta$, $\bar{\theta} < \pi$), получаем следующие связи между коэффициентами $A_n^{(j)}$, $B_k^{(j)}$:

$$\begin{aligned}
& \delta_1^{-1} A_n^{(1)} + \delta_2^{-1} A_n^{(2)} = 0; \quad \delta_1^{-1} B_k^{(1)} + \delta_2^{-1} B_k^{(2)} = 0 \quad (n, k=1, 2, \dots); \\
& A_n^{(1)} + A_n^{(2)} = \sum_{k=1}^{\infty} [B_k^{(1)} + B_k^{(2)}] \bar{b}_{nk} + \bar{f}_n; \quad \bar{f}_1 = -\sigma_0, \quad \bar{f}_n = 0 \quad (n=2, 3, \dots); \\
& B_k^{(1)} + B_k^{(2)} = \sum_{n=1}^{\infty} [A_n^{(1)} + A_n^{(2)}] \bar{c}_{nk} + \bar{g}_k; \quad \bar{g}_1 = -\frac{\bar{a}}{a} \sigma_0, \quad \bar{g}_k = 0 \quad (k=2, 3, \dots); \\
& \bar{b}_{nk} = 2k(-1)^{n+k} S_{nk}; \quad \bar{c}_{nk} = 2n(-1)^{n+k} S_{nk}; \\
& S_{nk} = \int_0^{\infty} \mu^{-1} e^{-2h\mu} I_n(a\mu) I_k(\bar{a}\mu) d\mu \quad (a + \bar{a} < 2h). \tag{19}
\end{aligned}$$

$$\text{Полагая } A_n^{(1)} + A_n^{(2)} = (-1)^n \sigma_0 \left[x_n^{(1)} + \frac{\bar{a}}{a} x_n^{(2)} \right], \quad B_k^{(1)} + B_k^{(2)} = (-1)^k \sigma_0 \left[y_k^{(1)} + \frac{\bar{a}}{a} y_k^{(2)} \right],$$

для нахождения величин $x_n^{(j)}$, $y_k^{(j)}$ получаем связанные бесконечные системы линейных алгебраических уравнений

$$x_n^{(1)} = \sum_{k=1}^{\infty} b_{nk} y_k^{(1)} + f_n; \quad y_k^{(1)} = \sum_{n=1}^{\infty} c_{nk} x_n^{(1)}; \quad f_1 = 1, \quad f_n = 0 \quad (n=2, 3, \dots); \tag{20}$$

$$x_n^{(2)} = \sum_{k=1}^{\infty} b_{nk} y_k^{(2)}; \quad y_k^{(2)} = \sum_{n=1}^{\infty} c_{nk} x_n^{(2)} + g_k; \quad g_1 = 1, \quad g_k = 0 \quad (k=2, 3, \dots), \tag{21}$$

в которых $b_{nk} = 2kS_{nk}$, $c_{nk} = 2nS_{nk}$; $b_{nk} > 0$, $c_{nk} > 0$.

Совокупность систем (20), (21) равносильна двум несвязанным бесконечным системам относительно величин $x_n^{(1)}$, $y_k^{(2)}$

$$x_n^{(1)} = \sum_{m=1}^{\infty} d_{nm}^{(1)} x_m^{(1)} + f_n; \quad d_{nm}^{(1)} = \sum_{k=1}^{\infty} b_{nk} c_{mk} > 0; \tag{22}$$

$$y_k^{(2)} = \sum_{m=1}^{\infty} d_{km}^{(2)} y_m^{(2)} + g_k; \quad d_{km}^{(2)} = \sum_{n=1}^{\infty} c_{nk} b_{nm} > 0 \tag{23}$$

и двум соотношениям

$$y_k^{(1)} = \sum_{n=1}^{\infty} c_{nk} x_n^{(1)}; \quad x_n^{(2)} = \sum_{k=1}^{\infty} b_{nk} y_k^{(2)},$$

которые определяют значения $y_k^{(1)}$, $x_n^{(2)}$ через решения бесконечных систем (22), (23).

Введем безразмерные геометрические параметры $\varepsilon = \frac{a}{h}$, $\bar{\varepsilon} = \frac{\bar{a}}{h}$.

Так как $a + \bar{a} < 2h$, то $\varepsilon + \bar{\varepsilon} < 2$, $\frac{\varepsilon}{2 - \bar{\varepsilon}} < 1$, $\frac{\bar{\varepsilon}}{2 - \varepsilon} < 1$. Используя равенства [6]

$$\sum_{k=1}^{\infty} k l_k(z) = \frac{z}{2} [l_1(z) + l_0(z)]; \quad \int_0^{\infty} e^{-px} l_\nu(cx) dx = \frac{c^\nu}{\sqrt{p^2 - c^2} \left(p + \sqrt{p^2 - c^2} \right)^\nu}$$

и учитывая, что $l_1(z) < l_0(z)$, $l_0(z) \leq e^z$ ($z \geq 0$), для сумм

$$\sigma_n^{(1)} = \sum_{k=1}^{\infty} b_{nk} > 0, \quad \sigma_k^{(2)} = \sum_{n=1}^{\infty} c_{nk} > 0 \quad \text{получаем оценки}$$

$$\sigma_n^{(1)} < \beta_1 \gamma_1^n, \quad \sigma_k^{(2)} < \beta_2 \gamma_2^k, \quad \text{в которых } \beta_1 = \frac{2\bar{\varepsilon}}{\sqrt{(2-\bar{\varepsilon})^2 - \varepsilon^2}}, \quad \beta_2 = \frac{2\varepsilon}{\sqrt{(2-\varepsilon)^2 - \bar{\varepsilon}^2}},$$

$$\gamma_1 = \frac{\varepsilon}{2-\bar{\varepsilon} + \sqrt{(2-\bar{\varepsilon})^2 - \varepsilon^2}} < 1, \quad \gamma_2 = \frac{\bar{\varepsilon}}{2-\varepsilon + \sqrt{(2-\varepsilon)^2 - \bar{\varepsilon}^2}} < 1. \quad \text{Отсюда следует, что}$$

$$\sum_{m=1}^{\infty} d_{nm}^{(1)} = \sum_{k=1}^{\infty} b_{nk} \sigma_k^{(2)} < \beta_2 \sum_{k=1}^{\infty} b_{nk} \gamma_2^k \leq \beta_2 \gamma_2 \sigma_n^{(1)} < \beta_1 \beta_2 \gamma_2 \gamma_1^n, \quad (24)$$

$$\sum_{m=1}^{\infty} d_{km}^{(2)} = \sum_{n=1}^{\infty} c_{nk} \sigma_n^{(1)} < \beta_1 \sum_{n=1}^{\infty} c_{nk} \gamma_1^n \leq \beta_1 \gamma_1 \sigma_k^{(2)} < \beta_1 \beta_2 \gamma_1 \gamma_2^k. \quad (25)$$

Поскольку $\gamma_1 < 1$, $\gamma_2 < 1$ при $\varepsilon + \bar{\varepsilon} < 2$ ($a + \bar{a} < 2h$), то

$$\sum_{m=1}^{\infty} d_{nm}^{(1)} \rightarrow 0 \quad (n \rightarrow \infty), \quad \sum_{m=1}^{\infty} d_{km}^{(2)} \rightarrow 0 \quad (k \rightarrow \infty), \quad \text{т.е. бесконечные системы (22),}$$

(23) квазирегулярны при любых допустимых значениях параметров ε , $\bar{\varepsilon}$ (любой близости разрезов $\xi = 0$, $\bar{\xi} = 0$).

Пусть для определенности $\bar{\varepsilon} \leq \varepsilon$ ($\bar{a} \leq a$). Тогда

$$\beta_1, \beta_2 \leq \frac{\varepsilon}{\sqrt{1-\varepsilon}}; \quad \gamma_1, \gamma_2 \leq \frac{\varepsilon}{2-\varepsilon+2\sqrt{1-\varepsilon}} = \frac{\varepsilon}{(1+\sqrt{1-\varepsilon})^2} \quad (0 < \varepsilon < 1);$$

$$\sum_{m=1}^{\infty} d_{nm}^{(1)}, \quad \sum_{m=1}^{\infty} d_{km}^{(2)} < \frac{\varepsilon^4}{(1-\varepsilon)(1+\sqrt{1-\varepsilon})^4} < 1 \quad (0 < \varepsilon < \varepsilon_0 = \frac{3\sqrt{5}-5}{2}). \quad (26)$$

Следовательно, операторы бесконечных систем (22), (23), действующие на основании оценок (24), (25) в пространстве ℓ абсолютно суммируемых числовых последовательностей, являются в нем операторами сжатия. Это свойство обеспечивает существование и единственность решений указанных систем в ℓ и позволяет для их нахождения использовать методы последовательных приближений и малого параметра. С другой стороны, оценки (26) означают, что при $0 < \bar{\varepsilon} \leq \varepsilon \leq \varepsilon_0$ бесконечные системы (22), (23) вполне регулярны и, следовательно, к ним в качестве метода решения применим также метод редукции.

Используя значение интеграла [6]

$$\int_0^{\infty} x^{\alpha-1} e^{-px} I_{\mu}(bx) I_{\nu}(cx) dx =$$

$$= \frac{b^{\mu} c^{\nu}}{2^{\mu+\nu} \Gamma(\nu+1) p^{\alpha+\mu+\nu}} \sum_{s=0}^{\infty} \frac{\Gamma(\alpha+\mu+\nu+2s)}{s! \Gamma(\mu+s+1)} \left(\frac{b}{2p}\right)^{2s} F\left(-s, -\mu-s; \nu+1; \frac{c^2}{b^2}\right)$$

($\Gamma(z)$ – гамма-функция, $F(\alpha, \beta; \gamma; z)$ – гипергеометрическая функция Гаусса) и равенства [7]

$$F\left(-s, -n-s; k+1; \frac{\bar{a}^2}{a^2}\right) = \sum_{\ell=0}^s \frac{s!(n+s)!k!}{\ell!(s-\ell)!(n+s-\ell)!(k+\ell)!} \left(\frac{\bar{a}}{a}\right)^{2\ell},$$

$$F(\alpha, \beta; \gamma; 1) = \frac{\Gamma(\gamma)\Gamma(\gamma-\alpha-\beta)}{\Gamma(\gamma-\alpha)\Gamma(\gamma-\beta)} \quad (\gamma \neq 0, -1, -2, \dots; \gamma-\alpha-\beta > 0)$$

для величин (19) получаем разложения в ряды по степеням $\varepsilon, \bar{\varepsilon}$

$$S_{nk} = \left(\frac{\varepsilon}{4}\right)^n \left(\frac{\bar{\varepsilon}}{4}\right)^k \sum_{s=0}^{\infty} \sum_{\ell=0}^s \frac{(n+k+2s-1)!}{\ell!(k+\ell)!(s-\ell)!(n+s-\ell)!} \left(\frac{\varepsilon}{4}\right)^{2s} \left(\frac{\bar{\varepsilon}}{4}\right)^{2\ell} \quad (\bar{\varepsilon} \neq \varepsilon);$$

$$S_{nk} = \left(\frac{\varepsilon}{4}\right)^{n+k} \sum_{s=0}^{\infty} \frac{(n+k+2s-1)!(n+k+2s)!}{s!(n+s)!(k+s)!(n+k+s)!} \left(\frac{\varepsilon}{4}\right)^{2s} \quad (\bar{\varepsilon} = \varepsilon).$$

Рассмотрим теперь вопрос о поведении нормальных напряжений вблизи концов разрезов и вычислении соответствующих коэффициентов интенсивности. Используя представления (1), (3) и учитывая, что $\xi_1 = \xi_2 = \xi$ при $\theta = 0, \theta = \pi$ и $\bar{\xi}_1 = \bar{\xi}_2 = \bar{\xi}$ при $\bar{\theta} = 0, \bar{\theta} = \pi$, после некоторых простых операций получаем асимптотические формулы

$$\sigma_x|_{\theta=0} \sim \frac{\sigma_0}{\text{sh}\xi} \sum_{n=1}^{\infty} (-1)^{n-1} n \left[x_n^{(1)} + \frac{\bar{\varepsilon}}{\varepsilon} x_n^{(2)} \right] e^{-n\xi} \quad (\xi \rightarrow 0 (y \rightarrow a));$$

$$\sigma_x|_{\bar{\theta}=0} \sim \frac{\sigma_0}{\text{sh}\bar{\xi}} \sum_{k=1}^{\infty} (-1)^{k-1} k \left[y_k^{(2)} + \frac{\varepsilon}{\bar{\varepsilon}} y_k^{(1)} \right] e^{-k\bar{\xi}} \quad (\bar{\xi} \rightarrow 0 (\bar{y} \rightarrow \bar{a}));$$

$$\sigma_x|_{\theta=\pi} \sim \frac{\sigma_0}{\text{sh}\xi} \sum_{n=1}^{\infty} n \left[x_n^{(1)} + \frac{\bar{\varepsilon}}{\varepsilon} x_n^{(2)} \right] e^{-n\xi} \quad (\xi \rightarrow 0 (y \rightarrow -a));$$

$$\sigma_x|_{\bar{\theta}=\pi} \sim \frac{\sigma_0}{\text{sh}\bar{\xi}} \sum_{k=1}^{\infty} k \left[y_k^{(2)} + \frac{\varepsilon}{\bar{\varepsilon}} y_k^{(1)} \right] e^{-k\bar{\xi}} \quad (\bar{\xi} \rightarrow 0 (\bar{y} \rightarrow -\bar{a}));$$

$$\sigma_y|_{\theta=0} \sim \frac{1}{\delta_1 \delta_2} \sigma_x|_{\theta=0} \quad (\xi \rightarrow 0); \quad \sigma_y|_{\bar{\theta}=0} \sim \frac{1}{\delta_1 \delta_2} \sigma_x|_{\bar{\theta}=0} \quad (\bar{\xi} \rightarrow 0).$$

При этом коэффициенты интенсивности нормальных напряжений

$$K_I^\pm = \lim_{\xi \rightarrow 0} \left[\sigma_x \sqrt{2(\pm y - a)} \right]_{\theta = \theta^\pm} = \sigma_0 \sqrt{a} \sum_{n=1}^{\infty} (\mp 1)^{n-1} n \left[x_n^{(1)} + \frac{\bar{\varepsilon}}{\varepsilon} x_n^{(2)} \right], \quad \theta^\pm = \begin{cases} 0 \\ \pi \end{cases}; \quad (27)$$

$$\bar{K}_I^\pm = \lim_{\xi \rightarrow 0} \left[\sigma_x \sqrt{2(\pm \bar{y} - \bar{a})} \right]_{\bar{\theta} = \bar{\theta}^\pm} = \sigma_0 \sqrt{\bar{a}} \sum_{k=1}^{\infty} (\mp 1)^{k-1} k \left[y_k^{(2)} + \frac{\varepsilon}{\bar{\varepsilon}} y_k^{(1)} \right], \quad \bar{\theta}^\pm = \begin{cases} 0 \\ \pi \end{cases}.$$

Из оценок (24), (25) и принадлежности последовательностей $\{nf_n\}$, $\{kg_k\}$ пространству ℓ следует сходимость рядов в формулах (27).

Решая бесконечные системы (22), (23) либо (20), (21) методом малого параметра и ограничиваясь при этом членами до порядка $O(\varepsilon^i \bar{\varepsilon}^j)$ ($i+j \leq 6$) для величин $x_n^{(1)} = x_n^{(1)}(\varepsilon, \bar{\varepsilon})$, $x_n^{(2)} = x_n^{(2)}(\varepsilon, \bar{\varepsilon})$, $y_n^{(1)} = y_n^{(1)}(\varepsilon, \bar{\varepsilon})$, $y_n^{(2)} = y_n^{(2)}(\varepsilon, \bar{\varepsilon})$ и коэффициентов $K_I^\pm = K_I^\pm(\varepsilon, \bar{\varepsilon})$, $\bar{K}_I^\pm = \bar{K}_I^\pm(\varepsilon, \bar{\varepsilon})$, получаем значения

$$\begin{aligned} x_1^{(1)} &= 1 + \frac{1}{64} \varepsilon^2 \bar{\varepsilon}^{-2} + \frac{3}{512} \varepsilon^4 \bar{\varepsilon}^{-2} + \frac{4}{512} \varepsilon^2 \bar{\varepsilon}^{-4}, & x_2^{(1)} &= \frac{1}{256} \varepsilon^3 \bar{\varepsilon}^{-2}, & x_3^{(1)} &= \frac{1}{1024} \varepsilon^4 \bar{\varepsilon}^{-2}; \\ x_1^{(2)} &= \frac{1}{8} \varepsilon \bar{\varepsilon} + \frac{3}{128} \varepsilon \bar{\varepsilon} (\varepsilon^2 + \bar{\varepsilon}^2) + \frac{5}{1024} \varepsilon \bar{\varepsilon} (\varepsilon^4 + \bar{\varepsilon}^4) + \frac{17}{1024} \varepsilon^3 \bar{\varepsilon}^{-3}, \\ x_2^{(2)} &= \frac{1}{32} \varepsilon^2 \bar{\varepsilon} + \frac{3}{256} \varepsilon^2 \bar{\varepsilon}^{-3} + \frac{1}{128} \varepsilon^4 \bar{\varepsilon}, & x_3^{(2)} &= \frac{1}{128} \varepsilon^3 \bar{\varepsilon} + \frac{5}{1024} \varepsilon^3 \bar{\varepsilon}^{-3} + \frac{5}{2048} \varepsilon^5 \bar{\varepsilon}, \\ x_4^{(2)} &= \frac{1}{512} \varepsilon^4 \bar{\varepsilon}, & x_5^{(2)} &= \frac{1}{2048} \varepsilon^5 \bar{\varepsilon}; & y_n^{(1)} &= x_n^{(2)}(\bar{\varepsilon}, \varepsilon), & y_n^{(2)} &= x_n^{(1)}(\bar{\varepsilon}, \varepsilon); \\ K_I^\pm &= \sigma_0 \sqrt{a} f(\varepsilon, \bar{\varepsilon}), & \bar{K}_I^\pm &= \sigma_0 \sqrt{\bar{a}} f(\bar{\varepsilon}, \varepsilon); & f(\varepsilon, \bar{\varepsilon}) &= 1 + \frac{1}{8} \varepsilon^2 \mp \frac{1}{16} \varepsilon \bar{\varepsilon}^2 + \\ &+ \frac{1}{128} (8 \varepsilon^2 \bar{\varepsilon}^{-2} + 3 \bar{\varepsilon}^{-4}) \mp \frac{1}{128} (4 \varepsilon^3 \bar{\varepsilon}^{-2} + 3 \varepsilon \bar{\varepsilon}^{-4}) + \frac{1}{1024} (24 \varepsilon^4 \bar{\varepsilon}^{-2} + 40 \varepsilon^2 \bar{\varepsilon}^{-4} + 5 \bar{\varepsilon}^{-6}). \end{aligned}$$

В заключение отметим, что другая пара разложений (16), (17) (базисных гармонических функций $e^{-k\bar{\xi}_j} \cos k\bar{\theta}_j$, $e^{-n\xi_j} \cos n\theta_j$) позволяет реализовать и антисимметричный вариант задачи, а в общем случае разбиение исходной краевой задачи на симметричную и антисимметричную по координате $X(\bar{X})$ дает возможность исследовать ее при произвольных граничных условиях на берегах разрезов.

Список использованных источников

1. Космодамианский, А.С. Концентрация внутренней энергии в многосвязных телах [Текст] / А.С. Космодамианский // Прикладная механика.– 2002. – Т.38, № 4.– С.21–48.
2. Немиш, Ю.Н. Развитие аналитических методов в трехмерных задачах статики анизотропных тел (обзор) [Текст] / Ю.Н. Немиш // Прикладная механика.– 2000.– Т.36, № 2.– С.3–38.
3. Соловьев, А.И. Краевые задачи теории упругости для ортотропных пластин, ограниченных координатными линиями декартовой и параболической систем координат [Текст] / А.И. Соловьев // Вопросы проектирования и производства конструкций летательных аппаратов: сб. науч. тр. Нац. аэрокосм. ун-та им. Н.Е. Жуковского “ХАИ”. – Вып. 2 (70). – Х., 2012. – С. 117–127.
4. Соловьев, А.И. О совместном применении декартовых и эллиптических координат к решению краевых задач теории упругости для ортотропных пластин [Текст] / А.И. Соловьев, А.В. Головченко // Открытые информационные и компьютерные технологии: сб. науч. тр. Нац. аэрокосм. ун-та им. Н.Е. Жуковского “ХАИ”. – Вып. 53. – Х., 2012. – С. 101–110.
5. Проценко, В.С. О совместном применении декартовых и биполярных координат к решению краевых задач теории потенциала и теории упругости [Текст] / В.С. Проценко, А.И. Соловьев // Прикладная механика.– 1984. – Т.48, № 6.– С. 973–982.
6. Прудников, А.П. Интегралы и ряды. Специальные функции [Текст] / А.П. Прудников, Ю.А. Брычков, О.И. Маричев. – М.: Наука, 1983. – 752 с.
7. Прудников, А.П. Интегралы и ряды. Дополнительные главы [Текст] / А.П. Прудников, Ю.А. Брычков, О.И. Маричев. – М.: Наука, 1986. – 800 с.

Поступила в редакцию 22.04.2013.

*Рецензент: д-р физ.-мат. наук, проф. В.С. Проценко
Национальный аэрокосмический университет
им. Н.Е. Жуковского «ХАИ», г. Харьков*